

# ارائه الگوی سینتیکی تولید کک در فرایند شکست حرارتی گازوئیل در میکروراکتور پیرولیز

قوان رحمانی<sup>i</sup>؛ رامین کریم‌زاده<sup>ii</sup>؛ جعفر توفیقی<sup>iii</sup>؛ میثم حسین‌نیا<sup>iv</sup>

## چکیده

در تحقیق حاضر، الگوی سینتیکی تولید کک در فرایند شکست حرارتی گازوئیل با بخار آب در میکروراکتور پیرولیز ارائه شده است. برای مطالعه آزمایشگاهی تولید کک، راکتور شکست با بخار لوله‌ای در مقایس آزمایشگاهی طراحی و ساخته شد. تعیین الگوی سینتیکی تولید کک در راکتورهای شکست حرارتی گازوئیل نیازمند ارائه مدل ریاضی راکتور بر پایه الگوی سینتیکی شکست حرارتی گازوئیل است. الگوی شکست حرارتی گازوئیل از نوع مولکولی فرض شده است که ثوابت سینتیکی آن به کمک داده‌های آزمایشگاهی اصلاح شد. روش‌های طراحی آزمایش بطور گسترده و برای مقاصد گوناگون در تحقیقات به کار می‌روند. در تحقیق حاضر، از روش طرح آزمایش مرکزی (CCD) برای کم کردن تعداد آزمایشها، و نیز کاستن از وقت و هزینه استفاده شده است. متغیرهای طراحی شامل: دما، شدت جریان آب و گازوئیل (زمان ماند) و نسبت بخار به گازوئیل هستند. آزمایشها در فشار اتمسفری، دمای ۱۰/۱۵ تا ۱۱/۳/۱۵ کلوین، نسبت بخار به گازوئیل ۰/۰ تا ۱ و شدت جریان گرمی کل ۱ تا ۲ گرم بر دقیقه انجام شد. نتایج نشان می‌دهد که دما و شدت جریان بیشترین تاثیر را بر بازده اتیلن، پروپیلن و کک دارد. همچنین کمترین سرعت تولید کک در دمای ۸۲۰ درجه سانتی‌گراد، نسبت بخار به گازوئیل ۰/۹ و شدت جریان ۱/۸ گرم بر دقیقه و بیشترین آن در دمای ۹۰۰ درجه سانتی‌گراد، نسبت بخار به گازوئیل ۰/۷۵ و شدت جریان ۱/۵ گرم بر دقیقه تولید می‌شود.

## کلمات کلیدی

تولید کک، شکست حرارتی گازوئیل، میکروراکتور پیرولیز، طراحی آزمایش، الگوی سینتیکی

## Kinetic Modeling of Coke Formation During Steam Cracking of Gasoil in Pyrolysis Microreactor

G. Rahmani, R. Karimzadeh, J. Towfighi, M. Hosseinnia

### ABSTRACT

In this paper, a kinetic model for coke formation during steam cracking of gasoil has been developed in a pyrolysis microreactor. A laboratory tubular steam-cracking reactor was designed, built and tested in order to study coke formation. Developing a coking model in gas oil cracking reactors requires a mathematical model of the reactor based on a reliable kinetic model for gasoil cracking. For this purpose, a molecular kinetic model was used and tuned by experimental data. Experimental design methods are widely used in research as well as in industrial settings in wide purposes. Central composite design (CCD) approach was used to reduce the number of experimental costs and times.

<sup>i</sup>- کارشناسی ارشد مهندسی شیمی از دانشگاه تربیت مدرس: Email: ghavam\_rahmani@yahoo.com

<sup>ii</sup>- دانشیار بخش مهندسی شیمی دانشگاه تربیت مدرس، عهده دار مکاتبات: Email: ramin@modares.ac.ir

<sup>iii</sup>- استاد بخش مهندسی شیمی دانشگاه تربیت مدرس: Email: towfighi@modares.ac.ir

<sup>iv</sup>- کارشناسی ارشد مهندسی شیمی از دانشگاه تربیت مدرس: Email: hosseinnia@modares.ac.ir

Pyrolysis temperature, flow rate, and steam ratio, at five different levels were selected as main factors in the experiments. The experiments performed at atmospheric pressure, temperatures of 1073.15-1173.15K, steam ratio of 0.5-1 and total feed flow rate between 1-2 gr/min. The results show that the temperature and the flow rate have the most effective impact on Ethylene and Propylene production and the coke formation. Moreover, the minimum rate of coke formation obtained at operating conditions of temperature, steam ratio and mass flow rate values of 820 °C, 0.9 and 1.8 gr/min respectively. Moreover, the maximum rate of coke formation obtained at operating conditions of temperature, steam ratio and mass flow rate values of 900°C, 0.75 and 1.5 gr/min respectively.

#### KEYWORDS

Coke Formation, Gas oil Thermal Cracking, Pyrolysis Microreactor, Experimental Design, Kinetic Model

#### ۱- مقدمه

سطح فلز از کک پوشیده شد نقش این مکانیسم در تشکیل کک کم رنگ می‌شود[۳]. بعد از تشکیل یک لایه کک بر سطح لوله، طبق سازوکار رادیکالی در سطح تماس گاز با کک، ترکیبات چند حلقه‌ای در معرض واکنش‌های هیدروژن زدایی هستند. رادیکال‌های آزاد موجود در فاز گاز، هیدروژن را از سطح کک جدا کرده و سایتها فعال در این سطح ایجاد می‌کنند. رادیکال‌های متیل، اتیل و هیدروژن فعال ترین این رادیکال‌ها هستند و بسته به نوع خوراک هرچه غلظت این رادیکال‌ها بیشتر باشد، سایتها فعال بیشتری وجود دارد. علاوه بر رادیکال‌ها، مولکول‌های غیراشباع نیز بعنوان هسته اولیه تشکیل دهنده کک در این مکانیزم حائز اهمیت می‌باشند.

زمانیکه خوراک شامل ترکیبات سنتگین حلقوی است و یا هنگامیکه در شرایط سخت (دمای بالای ۱۱۷۳ کلوین، میزان تبدیل بالا و ...) کار می‌کند، مکانیسم چگالش قطره‌ای اهمیت پیدا می‌کند. مکانیسم چگالش قطره‌ای با تشکیل آروماتیک‌های چند حلقه‌ای در داخل جریان گازی درون راکتور آغاز می‌شود. در نتیجه هسته اولیه تشکیل کک در این مکانیسم آروماتیک‌ها هستند. رشد این مولکول‌های بزرگ، منجر به تولید قطرات قیری شکل می‌شود که بسته به شرایط دمائی داخل راکتور می‌توانند مایع و یا جامد باشند. کمی که توسط نفتا و گازوییل ایجاد می‌شود ضریب انتقال حرارتی به میزان ۳-۵ kcal/m.hr.C دارد. این کک آمورفی بوده و هنگام لمس نرم می‌باشد. کمی که توسط اتان و LPG تولید می‌شود دارای ضریب انتقال حرارتی در حدود ۱۰ الی ۱۲ kcal/m.hr.C بوده و از کک نفتا سخت تر است. مهمترین سازوکار تولید کک در راکتورهای صنعتی، سازوکار رادیکالی است. این سازوکار در کل زمان کاری راکتور فعال بوده و در نتیجه لایه کک حاصل از این روش نسبت به لایه متخلف کک کاتالیستی ضخیم‌تر است[۷][۵].

واحد الفین بعنوان یکی از صنایع مهم بالا دستی پتروشیمی، عملده‌ترین روش تولید آروماتیک‌ها و الفین‌های سبک در دنیا به حساب می‌آید. محصولات اصلی واحد الفین، اتیلن و پروپیلن می‌باشد. بر اساس تحقیقات انجام شده توسط مجله نفت و گاز میزان تولید اتیلن دنیا در اول ژانویه ۲۰۰۵ حدود ۱۱۳ میلیون تن در سال بوده، که نسبت به سال قبل آن ۲/۱۳ میلیون تن افزایش ظرفیت داشته است. پیش‌بینی می‌شود که تا اول ژانویه ۲۰۰۸، ظرفیت تولید اتیلن در دنیا به ۱۲۳ میلیون تن در سال برسد[۳]. یکی از محصولات جانبی و ناخواسته در فرایند تولید الفین‌ها، کک است. برخلاف تمامی تلاش‌های انجام گرفته برای کاهش و حذف تولید کک، این مشکل همچنان در واحدهای الفین وجود دارد.

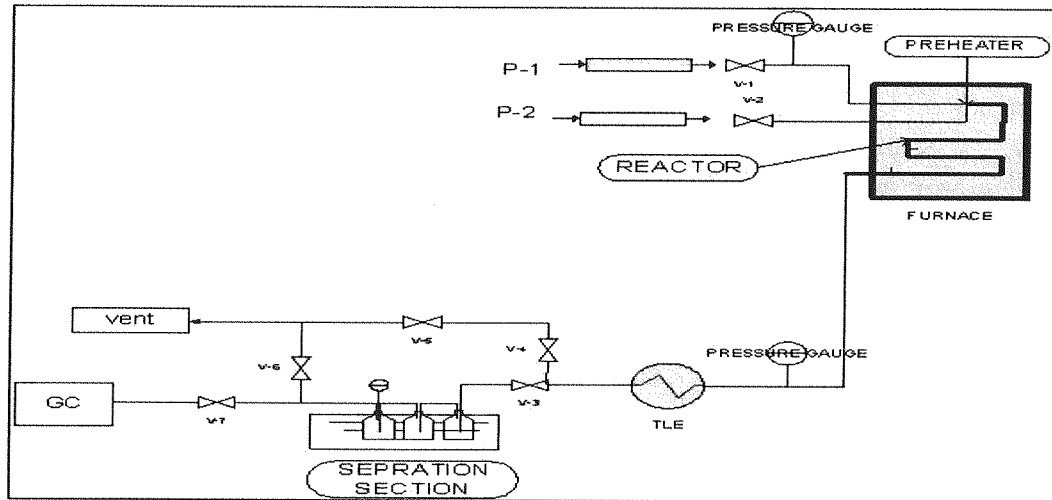
نشست کک در راکتور شکست حرارتی و مبدل TLE موجب بروز مشکلاتی از قبیل: کاهش انتقال حرارت از سطح لوله به جریان داخل آن، افزایش دمای لوله که منجر به ایجاد نقاط داغ و آسیب رسیدن به لوله می‌شود، کاهش سطح مقطع عبور جریان از داخل لوله و در نتیجه افزایش افت فشار و کاهش عملکرد کوره می‌شود. در نتیجه بررسی عوامل موثر در تولید کک و پیش‌بینی میزان کک تولیدی در شرایط عملیاتی مختلف از جمله موارد مورد توجه محققان صنعت پتروشیمی است. ارائه الگوی سینتیکی برای تولید کک روشنی را برای رسیدن به هدف است. برای تعیین الگوی مناسب برای تولید کک ابتدا باید مکانیسم‌های تولید کک را به خوبی مطالعه کرد. واکنش‌های منجر به تولید کک بیشتر از ۳ سازوکار کاتالیستی، رادیکالی و چگالش قطره‌ای پیروی می‌کنند[۷][۹]. جنس لوله‌های راکتور آلیاژهایی از نیکل، آهن و کروم است. در سازوکار کاتالیستی لوله راکتور همانند یک کاتالیست عمل کرده و باعث تبدیل گازهای حاصل از شکست حرارتی به کک می‌شود. مکانیسم کاتالیستی تشکیل کک در شروع به کار واحد و زمانی که هنوز کک بر روی لوله تشکیل نشده است، اهمیت دارد و پس از اینکه

## ۴- میکرو راکتور پیرولیز

و شرایط برای آغاز واکنش‌های شکست حرارتی گازوئیل فراهم می‌شود. دمای گازهای حاصل از واکنش شکست حرارتی پس از خروج از راکتور، در مبدل TLE به سرعت کاهش می‌یابد. توزیع دما در طول راکتور به کمک ۲ ترموموکوپیل که بر روی دیواره خارجی راکتور قرار دارند محاسبه می‌شود. در مرحله بعد برای جدا کردن آب و ترکیبات سنگین از جریان خروجی راکتور از ۲ مخزن کوچک شیشه‌ای در داخل حمام آب و یخ استفاده شده است. جریان گازی تا قبل از حالت پایدار از مسیر عبور هوا به خارج آزمایشگاه تخلیه می‌شود. بعد از حالت پایدار و خالص سازی جریان گاز از ترکیبات سنگین و آب، برای بررسی ترکیبات موجود از دستگاه GC برای آنالیز استفاده می‌شود. دستگاه GC مورد استفاده مجهز به سیستم کامپیوتری ساخت شرکت Varian-Chrompack مدل CP-3800 که دارای دو ستون و دو آشکار ساز مجزا از نوع FID می‌باشد. ستون اول جهت آنالیز ترکیبات هیدروکربنی سیک (متان، اتان، اتیلن، پروپان، پروپیلن، بوتان، بوتادیان، ..... و C5+) و ستون دوم جهت آنالیز CO و CO<sub>2</sub> بکار گرفته شده است. در این دستگاه امکان اندازه‌گیری ترکیبات بیشتر از ۵ کربنی بصورت جداگانه و آنالیز H<sub>2</sub> وجود ندارد درصد حجمی هیدروژن موجود در نمونه گازی از طریق موازنی و بالانس درصد حجمی گازهای آنالیز شده محاسبه می‌گردد.

برای مطالعه هرچه آسانتر فرایند شکست حرارتی هیدروکربن‌ها، گروه الفین دانشکده مهندسی شیمی دانشگاه تربیت مدرس بر آن شد که واحد آزمایشگاهی این فرایند را طراحی و برپانماید. مطابق شکل(۱) آب و گازوئیل به کمک ۲ پمپ و بطور جداگانه به داخل قسمت پیش‌گرمکن کوره پمپ می‌شوند. پمپ ۱ برای گازوئیل و پمپ ۲ برای تزریق آب به کار می‌رود. سیستم کنترل به کار گرفته شده برای تعیین دبی پمپاژ هر پمپ بصورت جداگانه عمل کرده و قابلیت تعیین دبی تا ۲ رقم اعشار را دارد. گفتنی است که استفاده از این نوع پمپ‌ها برای تزریق سیال در دبی پایین و دقت بالا، از نکات مثبت این تحقیق است. پس از این مرحله آب و گازوئیل وارد قسمت پیش‌گرمکن کوره می‌شوند.

قسمت پیش‌گرمکن شامل ۲ لوله استیل ۳۱۶ به قطر داخلی ۶ میلیمتر و طول ۱۵ سانتیمتر است که در آن آب و گازوئیل به ترتیب به حالت بخار و گاز تبدیل می‌شوند. در اینجا دمای گازوئیل تا حدی بالا می‌رود که واکنش‌های شکست حرارتی اتفاق نیافتد. سپس بخار آب و گازوئیل در قسمت ابتدایی راکتور با هم مخلوط می‌شوند. راکتور شکست حرارتی، لوله‌ای از جنس استیل ۳۱۶ به طول ۱۱۰ سانتیمتر و قطر داخلی ۶ میلی‌متر است. در این قسمت دمای جریان گاز در طول لوله افزایش یافته



شکل(۱) : شماتیکی میکرو راکتور

### ۳- آنالیز گازوئیل

جدول (۲): سطوح بکار رفته برای متغیرهای طراحی

	-α	-۱	۰	+۱	α
T	۸۰۰	۸۲۰	۸۵۰	۸۸۰	۹۰۰
F	۱	۱/۲	۱/۵	۱/۸	۲
SR	۰/۵	۰/۶	۰/۷۵	۰/۹	۱

### ۵- مدلسازی ریاضی راکتور

مدل ریاضی راکتور با حل همزمان معادله‌های بقای جرم، انرژی و مومنتوم در این سیستم تهیه می‌شود. برای این منظور یکسری فرضیات ساده کننده در نظر گرفته می‌شود:

- جریان گاز در داخل راکتور بصورت جریان یک بعدی و Plug فرض می‌شود.

- با توجه به محدوده دمائی بالا و فشار پایین جهت انجام واکنش‌ها در داخل راکتور، می‌توان گاز داخل راکتور را ایده‌آل در نظر گرفت.

- بخار آب بعنوان عنصر بی اثر در نظر گرفته می‌شود.

در ابتدا باید الگوی سینتیکی مربوط به شکست حرارتی گازوئیل و تولید که را انتخاب کرد[۹]. Z<sub>011</sub> و همکاران مدلی مولکولی برای شکست گازوئیل ارائه کردند که نتایج قابل قبولی برای پیش‌بینی شکست حرارتی گازوئیل پیش‌بینی کرد. در این تحقیق با فرض مولکولی بودن واکنش‌های شکست حرارتی گازوئیل، مدل Z<sub>011</sub> که شامل ۲۰ واکنش و ۱۶ ترکیب است برای نشان دادن واکنش‌های شکست حرارتی انتخاب می‌شود[۹]. همه واکنش‌های در نظر گرفته شده از نوع واکنش‌های اولیه می‌باشند که ثابت سرعت هر واکنش بصورت K=K<sub>0</sub>exp(-E/RT) است[۹].

در این واکنش‌ها ابتدا گازوئیل به هیدروژن، متان و ترکیبات الکلی تبدیل می‌شود. سپس این ترکیبات با یکیگر و یا بصورت جداگانه واکنش انجام داده و دستخوش تغییر و تحول می‌شوند که مهمترین محصولات تولید شده در این واکنش‌ها، بنزن، تولوئن، و اتیلبنزن است. سازوکار رادیکالی است[۷]. همانطور که پیشتر گفته شد، در سازوکار رادیکالی، ترکیبات غیر اشباع نظیر آلان-ها، و آروماتیک‌ها در اثر واکنش با سطوح فعل روی سطح کک باعث گسترش کک می‌شوند. ۸ ترکیب: اتیلن، پروپیلن، بوتن، بوتادین، بنزن، تولوئن، اتیل بنزن بعنوان هسته اولیه تشکیل کک

شناسایی برش‌های سنگین با استفاده از داده‌های معمولی مانند جرم حجمی، محدوده جوش، چسبندگی، مقدار هیدروژن، گوگرد و کربن موجود در هیدروکربن و آنالیز PINA امکان پذیر است. آنالیز PINA تنها برای تعداد کمی از برش‌ها در دسترس است. علاوه بر این می‌توان از کروماتوگرافی مایع و اسپکتروسکوپی H-NMR برای تشخیص ساختار مولکولی اجزای سنگین استفاده کرد[۸].

خوارک گازوئیل پیرولیز شده در این واحد آزمایشگاهی مقداری ترکیبات گوگردی دارد که این ترکیبات باعث ایجاد مشکلات زیادی از جمله خوردگی شدید جداره راکتور و سوراخ شدن راکتور خواهد شد. تا کنون مطالعات وسیعی روی اثر ترکیبات گوگردی بر نشست کک صورت گرفته است. گزارشات نشان می‌دهد که با افزودن سولفید هیدروژن و اتیل سولفید در پیرولیز نرمال اکتان میزان کک در سطح راکتور کوارتز کاهش می‌یابد[۷]. همچنین اثر بازدارنده گوگرد در پیرولیز پروپیان اتان و پروپیلن بسیار مثبت گزارش شده است.

آنالیز و مشخصات گازوئیل مورد استفاده در این تحقیق در جدول (۱) ارائه شده است.

جدول (۱): مشخصات خوارک گازوئیل

مقدار	گروه
۶۲/۲۰	پارافین (درصد مولی)
۲۹/۲۰	ایزو پارافین (درصد مولی)
۷/۴۰	نفتنهای (درصد مولی)
۱	آروماتیکها (درصد مولی)
۸۵	گوگرد (ppm)
۲۱۸-۲۸۷	نقطه جوش (درجه سانتی گراد)
۰/۸۲	چگالی نسبی

### ۴- طراحی آزمایش

در این تحقیق از روش CCD و نرم افزار Minitab برای طراحی آزمایش استفاده شده است. مطابق

جدول (۲) متغیرهای طراحی شامل دمای خروجی از راکتور (T)، نسبت بخار به گازوئیل (S) و شدت جریان کلی آب و گازوئیل (F) است که در ۵ سطح انتخاب شده‌اند. دمای خروجی از راکتور بین ۸۰۰ تا ۹۰۰ درجه سانتی‌گراد، شدت جریان کلی خوارک بین ۱ تا ۲ گرم بر دقیقه و نسبت وزنی بخار به

برای محاسبه ضخامت کک تولید شده در هر المان از رابطه استفاده می‌شود:

$$\Delta t_c = \frac{\alpha}{\rho_c} R_c \times \Delta t \quad (6)$$

در رابطه  $\alpha$  ضریبی است بین صفر و یک،  $\Delta t_c$  ضخامت کک،  $R_c$  سرعت تولید کک و  $\Delta t$  بازه زمانی بین المان  $z$  و  $z + \Delta z$  است. با محاسبه ضخامت کک تولید شده در هر المان، قطر لوله راکتور در المان بعدی به صورت  $D - 2\Delta t_c$  تعریف شود که  $D$  قطر داخلی لوله راکتور در المان قبلی است. برای محاسبه ثوابت سینتیکی مربوط به الگوی گازوئیل و الگوی سینتیکی کک، باید از روش بهینه‌سازی استفاده شود.

#### ۶- بهینه‌سازی ثوابت سینتیکی

برای بهینه کردن ثوابت سینتیکی الگوی گازوئیل و کک، باید نتایج حاصل از مدل را با داده‌های آزمایشگاهی حاصل از میکرو راکتور مقایسه کرده و اختلاف بین آنها به حداقل رسانده شود. برای این منظور تابع کمکی  $f$  برای هر خروجی و تابع هدف  $F$  بصورت دو رابطه:

$$f = Yield_{experimental} - Yield_{Model} \quad (7)$$

$$F = \sum_{i=1}^{150} (f_i)^2 = Min \quad (8)$$

تعریف می‌شود.

به کمک الگوریتم مارکوارت - لورنبرگ تابع هدف  $F$  با تعیین ثوابت سینتیکی بهینه الگوی کک و گازوئیل مینیمیز شود. در این تحقیق از ارائه نتایج مربوط به الگوی کک صرفنظر شده است. نتایج بهینه‌سازی الگوی کک در جدول ۴ محاسبه شده است.

انتخاب می‌شود. برای تعیین الگوی سینتیکی تولید کک، از روش تکه کردن استفاده شده است [۶].

به این ترتیب که مطابق جدول (۳) برای کاهش تعداد مجہولات و ثوابت سینتیکی واکنش‌ها این ۸ ترکیب در ۲ گروه الفین‌ها، دی‌ان‌ها (ناظیر بوتادی ان) و آروماتیک‌ها دسته بندی شده‌اند. در مرحله بعد، مدل کک به الگوی شکست گازوئیل اضافه می‌شود. لوله راکتور را به المان‌های کوچک تقسیم کرده و معادلات موازنۀ جرم، انرژی و مومنتوم برای هر المان بطور همزمان حل می‌شود. به این ترتیب توزیع غلظت، دما و فشار در طول راکتور به دست می‌آید.

موازنۀ جرم (غلظت):

$$\frac{dF_i}{dz} = \frac{\pi d_i^2}{4} \sum_{j=1}^{Nr} S_{ji} r_j \quad (1)$$

موازنۀ انرژی (دما):

$$\frac{dT_g}{dz} = \frac{1}{\sum_{i=1}^{Nr} F_i C_P i} \left[ Q_c(z) \pi d_i + \frac{\pi d_i^2}{4} \sum_{i=1}^{Nr} r_j (\Delta H j) \right] \quad (2)$$

موازنۀ مومنتوم (فشار):

$$\frac{dP}{dz} = \frac{\frac{d}{dz} \left( \frac{1}{M_m} \right) + \frac{1}{M_m} \left( \frac{1}{T} \frac{dT}{dz} + Fr \right)}{\frac{1}{M_m P} - \frac{P}{aRTG^2}} \quad (3)$$

برای قسمت مستقیم لوله راکتور، ضریب اصطکاک از رابطه:

$$Fr = 0 / 092 Re^{-0.2} / d, \quad (4)$$

و برای قسمت خمیده لوله، ضریب اصطکاک از رابطه:

$$Fr = 0.092 \frac{Re^{-0.2}}{dt} + \frac{\zeta}{\pi R_b} \quad (5)$$

بدست می‌آید.

$$\zeta = (0.7 + 0.35 \frac{\Lambda}{90}) (0.051 + 0.19 \frac{d_i}{R_b})$$

$R_b$  به ترتیب زاویه خم‌های لوله و شعاع لوله می‌باشد.

جدول (۳): الگوی سینتیکی تولید کک

نوع هسته اولیه تشکیل کک	واکنش
الفین‌ها	$r_{cOlefin} = k_0 \cdot e^{-E/RT} (C_{C_2H_4} + C_{C_3H_6} + C_{C_4H_8})^{n_1}$
آروماتیک‌ها	$r_{cAromatics} = k_0 \cdot e^{-E/RT} (C_{Benz} + C_{Toluene} + C_{EB} + C_{MB})^{n_2}$
دی‌ان	$r_{cButadien} = k_0 \cdot e^{-E/RT} (C_{Butadiene})^{n_3}$

جدول(۴): ثوابت بهینه الکوی سینتیکی کک

n	$k_0(1/s)$	E(J/mole)	مسته های اولیه
۱/۷۸	$۶/۵۲ \times 10^{-11}$	۲۴۱/۲۵	الفین‌ها
۰/۱۹	$۴۵/۱۶ \times 10^{-7}$	۲۱۲/۲۶	بوتادین
۲/۶	$۱/۵ \times 10^{-11}$	۱۸۹/۵۶	آروماتیک‌ها

اقامت، باعث کاهش پیشرفت واکنش‌های ابتدایی و کاهش بازده محصولاتی چون اتیلن می‌شود. اما از طرف دیگر با افزایش این نسبت، فشار جزئی هیدروکربن‌ها را کاهش و در نتیجه آن، پیشرفت واکنش‌های ثانویه کم شده که باعث کاهش میزان مصرف محصولات مطلوب می‌شود. اثر سوم که اثر گزینش-پذیری نسبت به اولفین‌های سبک را تقویت می‌کند، افزایش نسبت بخار به خوار آب، دمای خروجی راکتور افزایش می‌یابد و در نتیجه آن، اتیلن بیشتری تولید می‌شود. با توجه به شرایط و محدوده عملیاتی، هر کدام از این سه عامل که اثر بیشتری داشته باشند، تغییرات توزیع محصولات را نیز بیشتر تحت تاثیر قرار می‌دهند. در پایان باعث کاهش سرعت کلی واکنش و سرعت تولید کک می‌شود.

## ۷- بررسی نتایج آزمایشات مربوط به کک

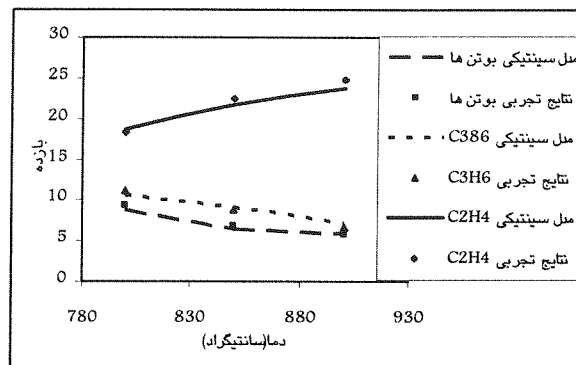
در ۱۵ آزمایش انجام شده، بازده محصولات گازی و کک تولید شده در هر آزمایش اندازه‌گیری شده و اثر دمای خروجی از راکتور، شدت جریان کلی ورودی به راکتور و نسبت بخار به گازوئیل بر بازده کک و محصولات، مورد بررسی قرار گرفت. بازده بصورت نسبت شدت جریان جرمی ترکیبات تولیدی در جریان گاز خروجی و راکتور به شدت جریان جرمی گازوئیل ورودی تعریف شده است. جدول(۵) شرایط عملیاتی و سرعت تولید کک را برای هر آزمایش نشان می‌دهد. سرعت تولید کک با تقسیم وزن کک تولید شده به مدت زمان انجام آزمایش که برای همه آزمایش‌ها ۴۰ دقیقه است به دست می‌آید. همانطور که در شکل (۲) مشاهده می‌شود، با افزایش نسبت بخار به گازوئیل، سرعت تولید کک کاهش می‌یابد. با افزایش نسبت وزنی بخار به هیدروکربن سه اثر ایجاد می‌شود که با هم در رقابت هستند. اول اینکه افزایش این نسبت به دلیل کاهش زمان

جدول(۵): شرایط آنجام آزمایش و سرعت تولید کک در هر آزمایش

آزمایش	هیدروکربن	نسبت بخار به	شماره
۱	۰/۷۵	۱/۵	۱/۱۲۲۴
۲	۰/۶	۱/۲	۱/۷۸۷۰
۳	۰/۹	۱/۲	۱/۰۵۹۳
۴	۰/۶	۱/۸	۰/۸۰۴۸
۵	۰/۹	۱/۸	۰/۵۲۲۹
۶	۰/۵	۱/۵	۱/۵۷۸۰
۷	۱	۱/۵	۱/۱۷۰۶
۸	۰/۷۵	۱	۲/۰۰۵۴
۹	۰/۷۵	۲	۱/۲۵۱۲
۱۰	۰/۷۵	۱/۰	۱/۴۲۳۸
۱۱	۰/۶	۱/۲	۲/۳۹۳۰
۱۲	۰/۹	۱/۲	۲/۰۸۰۰
۱۳	۰/۶	۱/۸	۱/۷۵۶۴
۱۴	۰/۹	۱/۸	۱/۷۱۶۴
۱۵	۰/۷۵	۱/۵	۲/۲۵۲۸

## ۸- اثر پارامتر های عملیاتی بر بازده محصولات

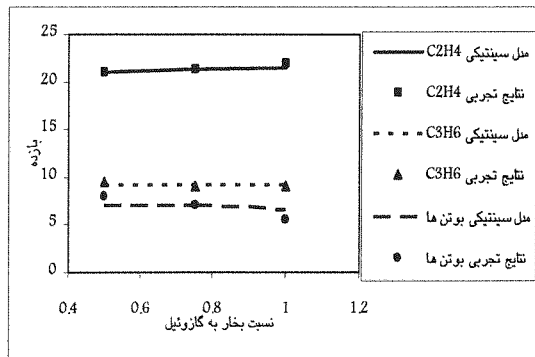
با تغییر دما، نسبت بخار به گازوئیل و شدت جریان کلی خوراک، بازده محصولات الفینی در خروجی از راکتور تغییر می کند. در شکل(۵) تاثیر دما بر بازده اتیلن پروپن و ترکیبات ۴ کربنی غیر اشباع در نسبت بخار به گازوئیل ۰/۷۵ و شدت جریان خوراک ۱/۵ گرم بر دقیقه مشاهده می شوند.



شکل(۵) : اثر دما بر بازده محصولات

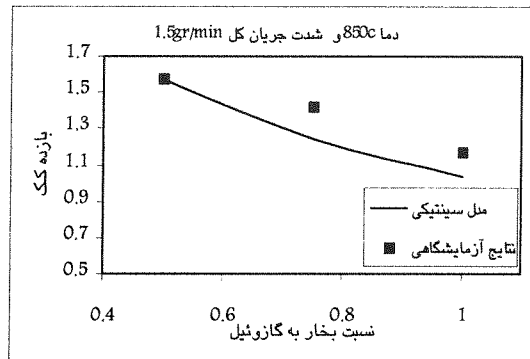
با افزایش دما، بازده اتیلن افزایش یافته اما از طرفی بازده پروپن، بوتن و بوتاپین کاهش می یابد. واکنش های شکست حرارتی و نیز واکنش های تولید کک به شدت گرمگیر هستند. با افزایش دما، سرعت واکنش های تولید الفین و نیز سرعت واکنش مصرف آنها در تولید کک، افزایش می یابد. کاهش پروپن و ترکیبات ۴ کربنی غیر اشباع در نیزه افزایش دما نشان دهنده مصرف شدن آنها در واکنش های تولید کک است.

مطابق شکل(۶) با افزایش نسبت بخار به گازوئیل، در دمای ۸۵۰ درجه سانتیگراد و شدت جریان کل ۱/۵ گرم بر دقیقه، بازده اتیلن افزایش یافته اما بازده پروپن و ترکیبات ۴ کربنی غیر اشباع کاهش می یابد.

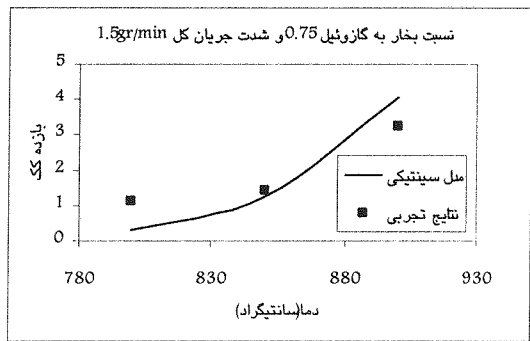


شکل(۶) : اثر نسبت بخار به گازوئیل بر بازده محصولات

شکل(۷) اثر افزایش شدت جریان کلی خوراک را بر بازده محصولات در دمای ۸۵۰ درجه سانتیگراد و نسبت بخار به گازوئیل ۰/۷۵ نشان می دهد.

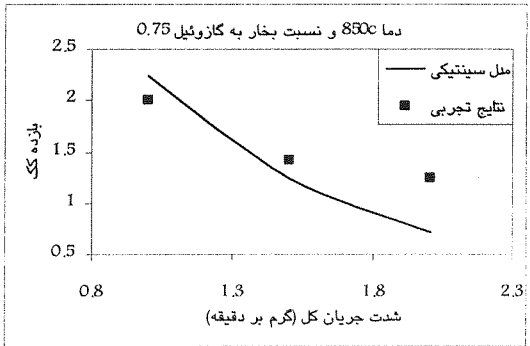


شکل(۲): اثر نسبت بخار به گازوئیل بر سرعت تولید کک با توجه به شکل(۳) تاثیر دما بر سرعت واکنش شکست حرارتی کاملاً بر عکس اثر بخار است. واکنش های شکست حرارتی هیدروکربن ها، از جمله واکنش های تولید کک به شدت گرمگیر هستند. در نتیجه با افزایش دما سرعت تولید کک بطور قابل ملاحظه ای افزایش می یابد.



شکل(۳) : اثر دما بر سرعت تولید کک

با افزایش شدت جریان کلی خوراک، زمان ماندگاری هیدروکربن ها در داخل راکتور کاهش می یابد. همین امر باعث محدودیت پیشرفت واکنش های شکست حرارتی و نیز واکنش های تولید کک می شود. مطابق شکل(۴) با افزایش شدت جریان کلی خوراک، سرعت تولید کک کاهش می یابد.



شکل(۴): اثر شدت جریان کلی خوراک بر سرعت تولید کک

## ۱۰- مراجع

[۱] میریان سید مجتبی، شهنازی سنگاچین علی اکبر پتروشیمی کتابخانه ملی ایران، ۱۳۸۰.

[۲] Dente M., Ranzi E., "Steam cracking of heavy liquid feedstock's", Presentation at 1986 AIChE Meeting.

[۳] Nakamura, D. N.; Global ethylene producers add 2 million ton of capacity in 2004, Oil & Gas J, Vol. 103 (12), pp 47-53, 2005

[۴] Reyniers, M.-F. S. G.; Froment, G. F.; Influence of metal surface and sulfur addition on coke deposition in the thermal cracking of hydrocarbons, Ind. Eng. Chem. Res., Vol 34, pp 773-785, 1995

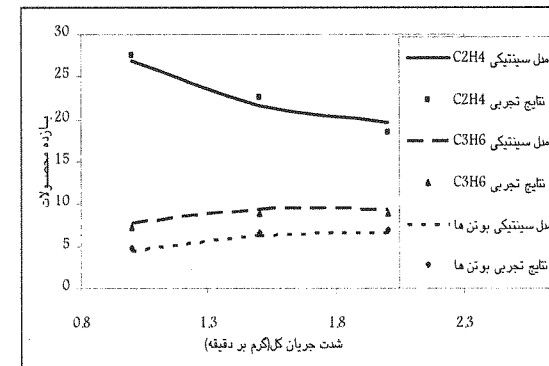
[۵] Reyniers, G. C.; Froment, G. F.; Kopinke, F. D.; Zimmermann, G.; Coke formation in the thermal cracking of hydrocarbons. 4. Modeling of coke formation in naphtha cracking, Ind. Eng. Chem. Res., Vol 33 (11), pp 2584-2590, 1994

[۶] Towfighi, J., Niaezi, A., Hosseini, S.; Development of a kinetic model for Coke Formation in Pyrolysis of Naphtha, Iranian J. of Sci. & Tech., Trans. B, Vol. 26, No. B2, pp 275-284, (2002c)

[۷] Wang, J.; The Influence of Additive on the Coke Formation during Steam Cracking, PhD thesis; pp 36-37, Gent University, 2006

[۸] Zon R., Aris R., Trimm D.L., "Olefin production by Atmospheric gas oil (AGO) thermal cracking", Hydrocarbon Processing, September(1988), part2.

[۹] Zou, R.; Lou, Q.; Mo, S.; Feng, S.; Study on a kinetic model of atmospheric gas oil pyrolysis and coke deposition, Ind. Eng. Chem. Res., Vol 32, pp 843-847, 1993



شکل(۷): اثر شدت جریان کلی خوارک بر بازده محصولات

با افزایش شدت جریان کلی خوارک، زمان ماندگاری هیدروکربن‌ها کاهش یافته و این امر بر بازده اتيلن اثر کاهشی و بر بازده پروپن و ترکیبات ۴ کربنی غیر اشباع اثر افزایشی دارد.

## ۹- نتیجه‌گیری

گازوئیل بعنوان یک ترکیب هیدروکربنی می‌تواند جایگزین مناسبی برای نفتا باشد. تنوع محصولات ارزانی گازوئیل

نسبت به نفتا، تشابه این دو هیدروکربن و نیاز صنعت به یک جایگزین مناسب دلایل اصلی این تحقیق بود. با این

او صاف، زمانی از گازوئیل به جای نفتا برای کراکینگ استفاده می‌شود که قیمت گازوئیل ۱۰ درصد ارزانتر از

نفتا باشد[۱]. مصرف گازوئیل بعنوان خوارک الفین در فصول گرم بیشتر است. زیر در فصل سرما از گازوئیل

برای تولید گرما و بعنوان سوخت استفاده می‌شود. آنالیز داده‌های تجربی با استفاده از نرم‌افزار SPSS نشان می‌دهد

که شرایط بهینه کوره شکست حرارتی، دمای ۸۵۰ درجه سانتیگراد، نسبت بخار به گازوئیل ۰/۷۵ و شدت جریان

وروپی(بخار آب و گازوئیل) ۱/۵ گرم بر دقیقه است.

- کمترین سرعت تولید کک در دمای ۸۲۰ درجه سانتیگراد، نسبت بخار به گازوئیل ۰/۹ و شدت

جریان ۱/۸ گرم بر دقیقه است.

- بیشترین سرعت تولید کک در دمای ۹۰۰ درجه سانتیگراد، نسبت بخار به گازوئیل ۰/۷۵ و شدت

جریان ۱/۵ گرم بر دقیقه است.

- طبق الگوی کک ارائه شده، ترکیبات آروماتیک بیشترین تاثیر را بر روی کک تولیدی دارند

- افزایش نسبت بخار به گازوئیل، شدت کک تولیدی را کاهش می‌دهد.

## ۱۱- تقدیر و تشکر

از حمایتهای مالی قطب مهندسی شیمی دانشگاه تربیت مدرس در اجرای این طرح تشکر و قدردانی می‌گردد.

## ۱۲- پیوست

برای بهینه کردن ثوابت سینتیکی الگوی گازوئیل، باید نتایج حاصل از مدل را با داده‌های آزمایشگاهی حاصل از میکرو راکتور مقایسه کرده و اختلاف بین آنها به حداقل رسانده شود. برای این منظور تابع کمکی  $f$  برای هر خروجی و تابع هدف  $F$  بصورت دو رابطه:

$$f = Yield_{experimental} - Yield_{Model} \quad (V)$$

$$F = \sum_{i=1}^{150} (f_i)^2 = Min \quad (A)$$

تعريف می‌شود.

به کمک الگوریتم مارکوارت - لورنبرگ تابع هدف F با تعیین ثوابت سیستمیکی بهینه الگوی گازوئیل مینیمم می‌شود. نتایج بهینه‌سازی الگوی گازوئیل در جدول (۶) محاسبه شده است.

جدول (۶) الگوی سیستمیکی گازوئیل و ثوابت بهینه آن

شماره واکنش	$k_0(s^{-1})$	$E(J \cdot mol^{-1})$	واکنش
۱	$4.04 \times 10^{11}$	$2.134 \times 10^2$	$Gasoil \rightarrow 0.74H_2 + 1.18CH_4 + 0.34C_2H_6 + 1.94C_2H_4 + 0.053C_3H_8 + 0.87C_3H_6 + 0.087C_4H_{10} + 0.42C_4H_8 + 0.36C_4H_6$
۲	$2.75 \times 10^{15}$	$2.73 \times 10^2$	$C_2H_6 \rightleftharpoons C_2H_4 + H_2$
۳	$6.73 \times 10^{12}$	$2.75 \times 10^2$	$2C_2H_6 \rightarrow C_3H_8 + CH_4$
۴	$1.4 \times 10^8$	$2.53 \times 10^2$	$C_2H_4 + C_2H_6 \rightarrow C_3H_6 + CH_4$
۵	$7.87 \times 10^{10}$	$2.147 \times 10^2$	$C_3H_8 \rightleftharpoons C_3H_6 + H_2$
۶	$2.83 \times 10^{12}$	$2.118 \times 10^2$	$C_3H_8 \rightarrow C_2H_4 + CH_4$
۷	$3.63 \times 10^{10}$	$2.47 \times 10^2$	$C_3H_8 + C_2H_4 \rightarrow C_2H_6 + C_3H_6$
۸	$4.14 \times 10^{12}$	$2.68 \times 10^2$	$2C_3H_6 \rightarrow 3C_2H_4$
۹	$3.87 \times 10^{11}$	$2.08 \times 10^2$	$2C_3H_6 \longrightarrow 0.3C_{6.5}H_7 + 0.14L(C_5^+) + 3CH_4$
۱۰	$9.54 \times 10^{15}$	$2.95 \times 10^2$	$C_4H_{10} \rightleftharpoons 2C_2H_4 + H_2$
۱۱	$1.55 \times 10^{14}$	$2.56 \times 10^2$	$C_4H_{10} \rightarrow C_2H_4 + C_2H_6$
۱۲	$3.7 \times 10^{11}$	$2.61 \times 10^2$	$C_4H_{10} \rightleftharpoons C_4H_8 + H_2$
۱۳	$1.19 \times 10^{10}$	$2.12 \times 10^2$	$C_4H_8 \rightarrow 0.41C_{6.5}H_7 + 0.19L(C_5^+)$
۱۴	$1.74 \times 10^{11}$	$2.09 \times 10^2$	$C_4H_8 \rightarrow C_4H_6 + H_2$
۱۵	$3.59 \times 10^4$	$1.03 \times 10^2$	$C_2H_4 + C_4H_6 \rightarrow Benzen + 2H_2$
۱۶	$4.7 \times 10^4$	$1.4 \times 10^2$	$C_4H_6 + C_3H_6 \rightarrow Toluene + 2H_2$
۱۷	$6.41 \times 10^{12}$	$2.46 \times 10^2$	$C_4H_6 + C_4H_8 \rightarrow EthylBenzen + 2H_2$
۱۸	$5.17 \times 10^{13}$	$2.63 \times 10^2$	$2C_4H_6 \rightarrow MethylBenzen + 2H_2$
۱۹	$1.55 \times 10^{14}$	$3.08 \times 10^2$	$C_2H_4 \rightarrow 0.15C_2H_6 + 0.233C_3H_6 + 0.1C_4H_8$
۲۰	$5.07 \times 10^{13}$	$2.91 \times 10^2$	$C_3H_6 + C_2H_6 \rightarrow C_4H_8 + CH_4$